



## تقييم أداء نظام اتصالات عبر مرحل متعدد المداخل والمخارج باستخدام تقنية OFDM

\*محمد نوري حسين<sup>1</sup> و علي عبدالرحمن عكاشة<sup>2</sup> و محمد عمر بابانة<sup>2</sup>

<sup>1</sup>قسم الطاقات المتجددة-كلية هندسة الطاقة والتعدين- جامعة سبها، ليبيا

<sup>2</sup>قسم الهندسة الكهربائية والإلكترونية-كلية العلوم الهندسية والتقنية-جامعة سبها، ليبيا

\*للمراسلة [moh.emhamed@suj.sebhau.edu.ly](mailto:moh.emhamed@suj.sebhau.edu.ly)

الملخص نهتم في هذه الورقة بدراسة وتقييم الاداء لنظام اتصالات لاسلكي عبر مرحل بعيد المدى متعدد هوائيات المداخل والمخارج (MIMO Relaying) ، باستخدام تقنية الارسال المتعدد المتعامد (OFDM) حيث عناصر منظومة الاتصالات عبارة عن مرسل ومرحل ومستقبل ، ويستخدم المرحل كوسيط مهمته النقاط الاشارة المرسله واعادة ارسالها مرة اخرى عن طريق بروتوكول تضخيم الاشارة في الاتجاه الامامي (Amplify and forward) مما يؤدي الى تحسين أداء الوصلات اللاسلكية عندما لايتوفر خط النظر المباشر (Line of sight) بين المصدر والوجهة النهائية. ويتكون النظام من مراحل الارسال عبر القناة اللاسلكية عريضة النطاق الترددي و المزدوجة اي ثنائية القفز (dual hop) . وتعتمد معالجة الاشارة على توافر معلومات مسبقة تامة عن حالة القناة بين المرسل والمرحل من جهة وبين المرحل والمستقبل من جهة اخرى ، حيث تستخدم معاملات القناة في حساب التضخيم عند المرحل وفي كاشف الاشارة. من خلال مقارنة النتائج المتحصل عليها في حالة ما كان الاداء متاليا تبت فاعلية استخدام تعدد الهوائيات في زيادة سعة القناة وجودة الاتصال ، وفي حالة توافر معلومات مسبقة غير تامة ، اي ويفرض وجود اخطاء في تخمين القناة تمت دراسة الاداء وعرض النتائج حيث تتاثر جودة الاتصال بشكل ملحوظ.

الكلمات المفتاحية: قناة لاسلكية عريضة النطاق ، مرحل (Relay) ، الارسال المتعدد المتعامد (OFDM) ، تعدد المداخل والمخارج (MIMO).

## Performance of MIMO Relay Communication System based on OFDM

\*M Nuri Hussin<sup>a</sup>, A A Ukasha<sup>b</sup>, M O Babana<sup>b</sup>

<sup>a</sup>Renwable Energy, Energy and Mining/University of Sebha, Libya

<sup>b</sup>Department of Electrical and Electronic Engineering, College of Engineering and Technical Sciences, Sebha University, Libya

\*Corresponding author: [moh.emhamed@sebhou.edu.ly](mailto:moh.emhamed@sebhou.edu.ly)

**Abstract** In this paper, Performance for Multi Input Multi Out put (MIMO) dualhop non-regenerative (Amplify-and-Forward) (AF) system based on Orthogonal Frequency Division Multiplexing (OFDM) under unperfect channel is evaluated. Communication system consists of transmitter , relay and reciever. The relay can be used in AF to extend communication range where direct line of sight is unaviliable. Channel State Information CSI is assumed to be unperfectly known and Mean Squar Error (MSE) of channel estimation errors in the two hops are considered to evaluate the capacity of channel and quality of dualhop wireless link. Simulation results show comparing based on MSE of channel state information . It can be seen that the quality of communication is degraded because performances are depended on AF processing which need perfet CSI.

**Keywords:** Wireless Broadband Channel, Relay, (MIMO) Multi input Multi output.

### المقدمة

المرحل الى قسمين : تضخيم وترحيل للاشارة في الاتجاه الامامي (Amplify and forward) و كشف معلومات الاشارة واعادة تضمينها تم ترحيلها في الاتجاه الامامي (Decode and forward) و يوجد ايضا تصميم يخلط بين القسمين ويمتاز تضخيم وترحيل للاشارة في الاتجاه الامامي بانه الاقل تعقيد واستهلاك القدرة فيه محدود لكنه يعاني من تضخيم الضجيج المصاحب للاشارة في المرحل [2,3] . بمقارنة اداء كل من البروتوكولات السابقة تبين انه متساوي عندما تكون نسبة الاشارة الى الضجيج عالية لكن يمتاز بروتوكول تضخيم وترحيل للاشارة في الاتجاه الامامي بانه اقل تعقيد

المرحلات تستطيع ان تقدم الحلول الناجحة لمشاكل الوصلات اللاسلكية بعيدة المدى عندما لا يمكن تحقيق شرط توفر خط النظر المباشر بين وجهتي الارسال (Line of sight). بالاضافة الى الاستفادة من مميزات تقنية هوائيات المداخل والمخارج اللاسلكية المتعددة (MIMO) مثل زيادة سرعة البيانات وامتداد المدى لمسافة اكبر مع الحد من قدرة الارسال [1] .

عادة ما يستخدم نمط الارسال في اتجاه واحد (Half duplex) في المرحلات الامر الى يلزم قناتين احدهما للارسال والاخرى للاستقبال ، وتصنف انظمة شبكات المرحلات حسب طريقة معالجة الاشارة في

الوجهة تحتوي على هوائيات الاستقبال  $R$  وكل من المرسل والمستقبل في المرحل يحوي على نفس العدد من هوائيات الارسال وهوائيات الاستقبال كما هو موضح بالشكل 1 .



شكل 1. نظام اتصالات عبر مرحل متعدد المداخل والمخارج

1.2 مراحل الارسال عبر قناة الاتصال المزدوجة



شكل 2. مراحل الارسال عبر قنوات الاتصال

الشكل رقم (1) يبين مراحل الارسال عبر قنوات نظام الاتصال لو اخذنا في الاعتبار ان قناة الاتصال ما بين المرسل والمرحل وما بين المرحل والمستقبل ثابتة خلال فترة الارسال "ثابتة مع الزمن" ومنتقاه لطيف الاشارة المرسله . يشير الى احد المسارات بين قناة الاتصال ما بين المصدر والمرحل بالرمز  $c_1[l]$  وكذلك احد المسارات بين قناة الاتصال بين المرحل و الوجهة  $c_2[l]$  وخلال قنوات الاتصال يتم اضافة الضوضاء  $v_l$  و  $v_s$  ، هذه الضوضاء لها متوسط يساوي الصفر وتمثل دائري وهي تمثل ضوضاء جاوس البيضاء .

متوازي الى تسلسلي  $s_n$  لارسالها عبر قناة الاتصال بين المرسل والمرحل بحيث يكون لكل هوائي ارسال نفس الحزمة من البيانات .

وتكون اشارة الاستقبال عند المرحل  $x_n$  بالصيغة التالية

$$\mathbf{x}_n = \sum_{l=0}^{L-1} \mathbf{C}_1[l] s[n-l] + \mathbf{v}_l \quad (1)$$

وتمثل  $c_1[l]$  ،  $c_2[l]$  حيث  $l=0 \dots L-1$  ، لمصفوفة  $R \times T$  . وبهذا تكون الاشارة في نطاق الزمن هي جمع التفاف بين مصفوفة القناة متعددة المداخل والمخارج و اشارة رموز الدخل ، وتمثل  $v_l$  اشارة ضجيج جاوس المضاف. في المرحلة الثانية تحول الرموز من بيانات تسلسلي الى متوازي لمعالجتها حيث تضخم الاشارة  $x_n$  في المرحل و ترحل الى المستقبل

$$\mathbf{u} = \mathbf{G}\mathbf{x} \quad (2)$$

وفي القسم 2.3 سنتعرض لمعالجة الاشارة  $G$  بناء على بروتوكول تضخيم وترحيل للاشارة في الاتجاه الامامي ( Amplify and forward ) . عند مخرج المرحل نحصل على الاشارة  $\mathbf{u}$  التي

ترسل خلال المرحلة الثانية من الارسال عبر القناة  $C_2[l]$  عن طريق جمع الالتفاف بين الاشارة  $\mathbf{u}$  والقناة متعددة المداخل والمخارج ويكون

[4] .

اكثر البحوث تتناول قناة الخبو المسطح (frequency flat fading) ، لكن في التطبيقات التي تحتاج سرعة بيانات عالية غالبا نفرض ان قناة الوصلة اللاسلكية تكون ذات نطاق ترددي عريض (Broadband channel) اي ان لها خاصية الانتقائية للتردد (Frequency selective) ، الامر الذي يؤدي الى تشويه البيانات ومن ضمن الحلول الشائعة الان لهذه المشكلة هو استخدام نظام تقسيم الارسال المتعامد (OFDM) الذي يحول القناة العريضة الى عدة قنوات ضيقة (Narrowband channel) اي قناة مسطحة تقريبا (flat channel) عند كل حاملة فرعية [5,6] .

تتطلب تطبيقات الاتصال اللاسلكي معدل نقل بيانات قد يصل إلى بضعة جيجابايت في الثانية ، وتعتبر تقنية (OFDM) واعدة ولكن تحتاج إلى تحسين فعالية الطيف [7] ، كما يمكن تحسين أداء الشبكة مع التركيز في الإنتاجية ، والحد من متوسط نسبة قدرة الذروة (Peak Average Power Ratio) (PAPR) وايضا ظهرت العديد من طرق النفاذ المتعدد والأشكال الموجية المرشحة للاستخدام في الطبقة الفيزيائية ضمن الأبحاث والجدير بالذكر انه يمكن استخدام طرق الوصول المتعدد غير المتعامد (Non-Orthogonal Multiple Access) (NOMA) ضمن الوصلة المساعدة للنظام [8] .

تعتمد تقنية معالجة الاشارة في المرحل على مدى توفر معلومات عن حالة القناة (Channel State Information) (CSI) خلال كل مراحل النظام، ولتحقيق الاداء الامثل لنظام متعدد المداخل والمخارج (MIMO) يجب ان تؤدي طريقة المعالجة الى الحصول على مصفوفة قطرية للقناة ، حيث يتم تفكيك المصفوفة عن طريق حساب القيم والمتجهات الذاتية لمصفوفة القناة المزدوجة القفز بين المرسل والمرحل المستقبل.

في هذه الورقة نهدف الي تقييم الاداء لمرحل مضخم في الاتجاه الامامي على وصلة لاسلكية عريضة النطاق ومتعددة المداخل والمخارج باستخدام تقنية الارسال المتعامد وتقييم الاداء في حالة توفر كامل المعلومات عن القناة مسبقا وفي عدم توافر معلومات دقيقة اي حالة وجود اخطاء في تخمين القناة اللاسلكية المزدوجة القفز وما مدى تأثيره على جودة الاتصال و محدودية سرعة تبادل البيانات .

تنقسم هذه الورقة الى مقدمة، نموذج النظام، مناقشة النتائج والاستنتاجات. في كتابة المعادلات الرياضية خصصت الحروف الصغيرة غير الداكنة لتمثيل المتغيرات العددية المفردة (scalar) ، والحروف الصغيرة الداكنة لتمثيل المتغيرات العددية على هيئة صف او عمود (vectors) ، والحروف الكبيرة الداكنة لتمثيل المصفوفات (Matrices) .

## 2 بنية نظام الاتصال

تتكون بنية نظام الاتصال من المصدر و الوجهة وكذلك مرحل في منتصف المسافة بينهما . المصدر يحوي على هوائيات الارسال  $T$  و

حيث  $\tilde{\mathbf{H}}_1, \tilde{\mathbf{H}}_2$  ببعاد  $kR \times kT$  تمثل القناة بين المرسل و المرسل والقناة بين المرسل والمستقبل على التوالي لكل النظام

$$\tilde{\mathbf{H}}_1 = \text{diag}[\mathbf{H}_{1,0}, \mathbf{H}_{1,1}, \dots, \mathbf{H}_{1,K-1}] \quad (6a)$$

$$\tilde{\mathbf{H}}_2 = \text{diag}[\mathbf{H}_{2,0}, \mathbf{H}_{2,1}, \dots, \mathbf{H}_{2,K-1}] \quad (6b)$$

حيث  $\mathbf{H}_{1,k}, \mathbf{H}_{2,k}$  ببعاد  $R \times T$  تمثل القناة بين المرسل و المرسل والقناة بين المرسل والمستقبل على التوالي لكل حاملة فرعية

### 3.2 تضخيم وترحيل الاشارة

حاصل ضرب المصفوفات  $\mathbf{H}_{1,k}, \mathbf{H}_{2,k}, k=0 \dots K-1$

في المعادلة رقم (6) هي مصفوفات تمثل القناة مزدوجة القفز (dual hop) ذات مداخل ومخارج هوائيات الارسال والاستقبال لكل حامل فرعي  $k=0 \dots K-1$ . حيث تمت معالجتها باستخدام تقنية (OFDM) في القسم السابق. ولحذف تاثير التداخل المكاني الناتج عن تعدد المداخل و المخارج يتم معالجتها لتحويلها الى مصفوفة قطرية باستخدام مفكوك القيمة المفردة (Singular Value Decomposition) (SVD) كالتالي:

$$\mathbf{H}_{1,k}, \mathbf{H}_{2,k} = \mathbf{U}_k \mathbf{\Lambda}_k \mathbf{V}_k^H \quad (7)$$

$$\mathbf{\Lambda}_k = \text{diag}[\lambda_1, \dots, \lambda_T] \quad (8)$$

$\mathbf{\Lambda}_k$  تمثل مصفوفة القيم الذاتية اما  $\mathbf{U}_k, \mathbf{V}_k^H$  فهي مصفوفات

هات اي ليس لها تاثير على القدرة و  $\lambda_i$  هي القيمة الذاتية لمصفوفة تعدد المداخل والمخارج لكل حامل فرعي، وبهذا تكون الكسب عن المرسل لكل حاملة فرعية هي قطرية ايضا وتمثل كالاتي

$$\mathbf{G}_k = \text{diag}[g_1, \dots, g_T]$$

وتحتوي قيمة  $g$  على قيمة التضخيم للاشارة المرحلة لكل حامل فرعي و التي تعطى كالاتي

$$g_i = \sqrt{p_r / (p_s \lambda_i^2 + \sigma_1^2)} \quad (10)$$

حيث  $P_r, P_s$  قدرة المرسل والمرسل على التوالي اما  $\sigma_1^2$  فهي قدرة الضجيج عبر القناة ما بين المرسل والمرسل وبهذا تكون مصفوفة اعادة الارسال للمرسل  $\mathbf{G}$  مصفوفة قطرية يحتوى قطرها الرئيسى على قيم التضخيم لبروتوكول التضخيم واعادة الارسال

$$\mathbf{G} = \text{diag}[G_0, \dots, G_{k-1}]$$

التحليل السابق وبالتعويض نحصل على سعة القناة اللاسلكية المزدوجة القفز متعددة المداخل والمخارج مع الارسال المتعامد حيث يمكن حساب متوسط السعة لكل حامل فرعي [6,9,10].

$$C = \log_2 \left( \det(\mathbf{I} + (\sigma_v^2 \mathbf{I} + (\sigma_v^2 \mathbf{\Lambda}_2 \mathbf{G} \mathbf{G}^H \mathbf{\Lambda}_2^H)^{-1} \mathbf{\Lambda}_1 \mathbf{G} \mathbf{\Lambda}_1^H \mathbf{G}^H \mathbf{\Lambda}_1^H)) \right) \quad (12)$$

حيث  $\mathbf{G}, \mathbf{\Lambda}$  كما في المعادلات (9, 8) على التوالي.

بناء على المعادلة (12) يمكن تخمين احتمال الخروج ( $P_o$ ) (outage probability) لمرسل تضخيم واعادة ارسال الاشارة وتعرف عندما تتخفف نسبة الاشارة الى الضجيج عن العتبة  $SNR_{th}$ . وتوضح كالاتي

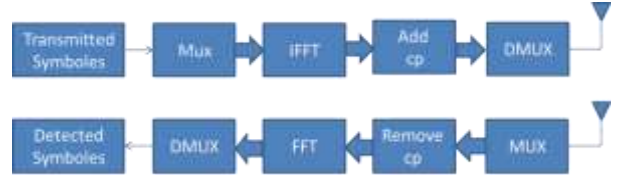
تاثير القناة مثل مرشح استجابة نبضة محدودة متعدد المداخل والمخارج . وبالتالي تكون الاشارات المستقبلية من هوائيات الاستقبال  $\mathbf{v}_n$  معطاه بالشكل التالي

$$\mathbf{y}_n = \sum_{l=0}^L \mathbf{C}_2[l] \mathbf{u}[n-l] + \mathbf{v}_s \quad (3)$$

حيث ان الضوضاء لها متوسط يساوي الصفر وتمائل دائري وهي تمثل ضوضاء جاوس البيضاء بمصفوفة تباينه تعطى بدلالة  $\mathcal{E}\{\mathbf{v}\mathbf{v}^H\} = \sigma_v^2 \mathbf{I}_R$  وتنقسم الى  $\mathbf{v}_l$  عند مدخل المرسل و  $\mathbf{v}_s$  عند مدخل المستقبل.

### 2.2 تقنية الارسال المتعامد

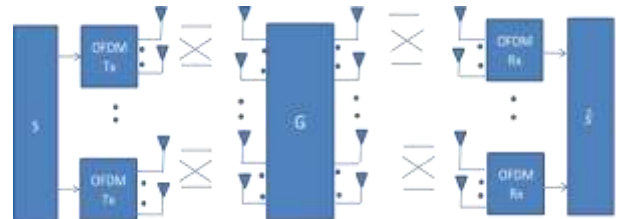
الشكل 3 يوضح مرسل ومستقبل بتقنية الارسال بطريقة الترددات المتعامدة (OFDM) ويستخدم هذا النمط كارسال متعدد القنوات وبسرعة ترانس عالية على قناة عرضة النطاق الترددي.



شكل 3. تقنية الارسال المتعامد

لتحويل قناة الاتصال العريضة بين المصدر والمرسل وكذلك قناة الاتصال بين المرسل و الوجهة الى  $k$  قناة ضيقة مستوية النطاق الترددي نستخدم لتقسيم النطاق العريض لقناة الارسال الى عدة نطاقات ضيقة . ولكي لا يحدث تداخل في الرموز خلال عملية الارسال تستخدم البادئة الدورية (cyclic prefix) والتي لها طول يساوي الاستجابة النبضية . واقام هذا المقطع يجعل مصفوفة القناة في الزمن عبارة عن مصفوفة لها خاصية مميزة وتسمى مصفوفة دورانية ويكون تاثير عملية تحويل فوريير العكسي و تحويل فوريير على التوالي على مصفوفة القناة الدورانية هو مصفوفة قطرية يحتوى قطرها الرئيسى على عدد  $k$  مصفوفة ببعاد  $R \times T$ .

ويتكون نظام الاتصالات من دمج الشكل 1 والشكل 3 كما هو موضح بالشكل 4



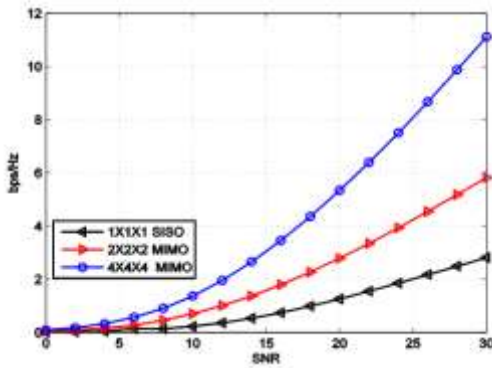
شكل 4. بنية نظام الاتصالات

وبذلك تكون مراحل الارسال عبر قنوات الاتصال في نطاق التردد كالاتي:

$$\mathbf{x} = \tilde{\mathbf{H}}_1 \mathbf{s} + \mathbf{v}_1 \quad (4)$$

$$\mathbf{y} = \tilde{\mathbf{H}}_1 \mathbf{G} \tilde{\mathbf{H}}_2 \mathbf{s} + \tilde{\mathbf{H}}_2 \mathbf{G} \mathbf{v}_1 + \mathbf{v}_s \quad (5)$$

القناة المتعددة تزداد بأكبر من المعامل  $\min(T, R)$  لمرحل الإرسال عند الجانب الأيمن على الشكل حيث القيم العالية لنسبة الإشارة إلى الضجيج  $SNR$ .

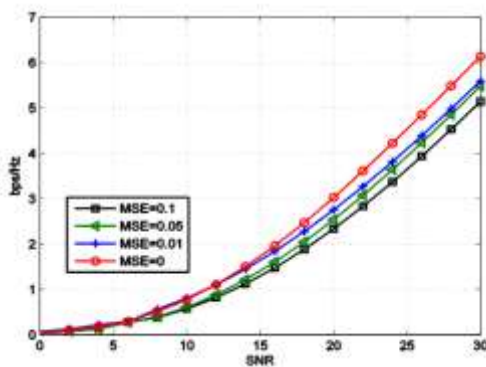


شكل (5) سعة قناة الوصلة اللاسلكية المزدوجة للمرحل

### 3.2 تأثير دقة معلومات حالة القناة على سعة القناة واحتمال الخروج

الشكل (6) يوضح تأثير  $MSE$  على سعة القناة  $2 \times 2 \times 2$  عندما تتغير نسبة الإشارة إلى الضجيج  $SNR$ ، حيث أنه من الشكل نلاحظ أن السعة تتناقص بمعدل ملحوظ كلما تزايد  $MSE$  وعندما تكون  $MSE=0.1$  تنقص السعة بمقدار  $1 \text{ bps/Hz}$  تقريباً عندما  $SNR$  أكبر من  $20 \text{ dB}$ . نستنتج من الشكل أيضاً أن تقنية تعدد الهوائيات تزيد سعة القناة العريضة النطاق زيادة معتبرة وفي نفس الوقت تتأثر قليلاً بأخطاء التخمين مما يؤكد استطاعة هذا النظام على إرسال البيانات بسرعات عالية. والشكل (7) يوضح احتمال الخروج من المعادلة (13) وبناءً على النتائج في شكل (6).

للمقارنة عند  $Po=10^{-1}$  نحتاج  $SNR > 18 \text{ dB}$  وعندما  $Po=10^{-2}$  فقط عندما  $MSE < 0.01$  تتحقق ونحتاج  $SNR > 25 \text{ dB}$ . وبهذا نستنتج أن مستوى الخطأ الثابت (error floor) الذي يظهر عندما  $MSE > 0.01$ ، نتيجة لعدم توافر معلومات مسبقة تامة عن حالة القناة يؤثر على جودة عمل المرحل.



شكل (6) تأثير متوسط مربع خطأ تخمين القناة على سعة القناة

$$Po = \Pr[0 \leq SNR \leq SNR_{th}] \quad (13)$$

### 2.4 كاشف الإشارة وتقييم أداء النظام

بسّطت تقنية (OFDM) تعقيد كاشف الإشارة المتناسك الذي يتطلب توافر معلومات تامة عن القناة عند المستقبل لكن تضخيم الإشارة عبر المرحل تحتاج توافر معلومات دقيقة عن حالة القناة المزدوجة. في حالة عدم توافر معلومات تامة عن حالة القناة المزدوجة للنظام ستقل جودة التراسل ولتقييم الجودة سنقوم بحساب متوسط مربع الخطأ  $MSE$  (Mean Square Error) ولحساب  $MSE$  نستخدم الصيغة التالية:

$$MSE = \text{mean} \left( \left\| \tilde{\mathbf{H}}_1 \tilde{\mathbf{H}}_2 - \hat{\mathbf{H}}_1 \hat{\mathbf{H}}_2 \right\|^2 \right) \quad (14)$$

حيث  $\hat{\mathbf{H}}_1 \hat{\mathbf{H}}_2$  هي القناة التي تحوى اخطاء ناتجة عن تخمين القناة المزدوجة القفز ومتوسط مربع الخطأ ( $MSE$ ) يعطى مؤشر متفاوت عن مدى الدقة في عملية تخمين القناة والذي يمكن من خلاله مقارنة أداء النظام.

### 3 النتائج

عن طريق (MATLAB) تمت محاكاة متغيرات عناصر نظام الاتصال الموضحة بالجدول (1)، وذلك من خلال حساب سعة القناة بالإضافة إلى حساب جودة الاتصال بدلالة نسبة الخطأ في البيانات المستقبلية (BER) (Bit Error Ratio) ومقارنة النتائج في حالة توفر معلومات تامة عن القناة المزدوجة القفز وفي حالة عدم توفر هذه المعلومات بدقة كاملة نتيجة ظروف تواجد الخطأ  $MSE$  في تخمين القناة لاي نظام اتصالات. حيث أن الجدول (1) يوضح متغيرات النظام.

#### جدول 1 متغيرات النظام

$k = 32$	عدد الحاملات الفرعية
$L = 4$	طول القناة
$k + L$	إضافة المقطع الدوري
$p_t = Tk\sigma_s^2$	القدرة المرسله
$p_s = p_t / 2$	قدرة المصدر
$p_\lambda = p_s / (Tk)$	قدرة الحاملة عند المصدر
$p_r = p_t / 2$	قدرة المرحل
QPSK	التضمين الرقمي

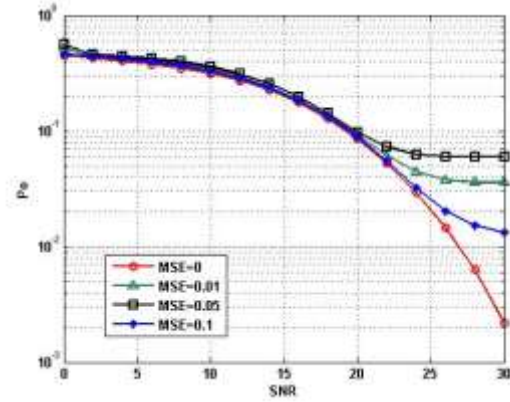
### 1.3 سعة القناة المزدوجة للمرحل

قبل استعراض النتائج يجب توضيح تأثير تعدد هوائيات المداخل والمخارج على زيادة سعة قناة الوصلة اللاسلكية المزدوجة للمرحل. من الشكل (5) الذي يحدد العلاقة بين نسبة الإشارة إلى الضجيج وكفاءة كثافة الطيف الذي يدل على سعة القناة، يتبين أن معدل السعة يزداد بزيادة نسبة الإشارة إلى الضجيج. الشكل يقارن نظام مفرد  $1 \times 1 \times 1$  ونظام متعدد المداخل والمخارج  $2 \times 2 \times 2$  و  $4 \times 4 \times 4$ ، أي أنه يمكن استنتاج أنه للقناة العريضة مقارنة مع نظام الهوائي الواحد سعة

مسارات القناة وبدلك تفقد جزئياً خاصية التنوع التي تستفيد منها أنظمة الاتصال متعددة المداخل والمخارج . أما التدهور الحاد في الأداء فان سببه لان جميع مراحل معالجة الإشارة في المرسل والوجهة تعتمد على توفر معلومات حالة القناة. وهذا يدل على انه بالرغم من المزايا العديدة التي تقدمها هذه الأنظمة الا ان التوازن بين سرعة وجوده الإرسال عامل مهم جدا خاصة في ظل عدم دقة المعلومات عن معاملات القناة بين المصدر والمرسل وبين المرسل والوجهة.

#### المراجع

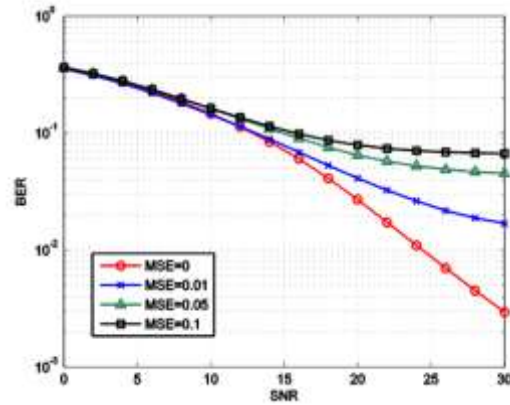
- [1]- X. Tang and Y. Hua. Optimal design of non regenerative MIMO wireless relays. *IEEE Transactions on Wireless Communications*, 6(4):1398–1407Apr. 2007
- [2]- Y. Fan and J. S. Thompson. On the performance Of MIMO spatial multiplexing relay channels. In *IEEE International Conference on Communications*, pages 2773–2778, Glasgow, June 2007
- [3]- O. Munoz-Medina, J. Vidal, and A. Agustin. Linear transceiver design in non regenerative relays with channel state information. *IEEE Trans. Signal Process.* vol. 55, no. 6, pp. 2953–2604, Jun. 2007
- [4]- Kapil Gupta and P.K.Ghosh . End-to-End Performance of Multiple-Input-MultipleOutput Relay Transmission Link over Rayleigh Fading Channels. *International Journal of Computer Applications* (0975 – 8887) Volume 53– No.2, September 2012.
- [5]- C. Dewar and D. Warren, “Understanding 5G Perspectives on future technological advancements in mobile,” <https://gsmaintelligence.com/>, published online 8 Dec. 2014, p43.
- [6]- Weinstein S B, Ebert P M. Data transmission by frequency-division multiplexing using the discrete fourier transform. *IEEE Transactions on Communication Theory*, vol. 19, no. 5, pp. 628- 634. 1971.
- [7]- L. Dai, B. Wang, Z. Ding, Z. Wang, S. Chen, and L. Hanzo, “A Survey of Non-Orthogonal Multiple Access for 5G,” *IEEE Commun. Surv. Tutorials*, vol. 20, no. 3, pp. 2294–2323, 2018.
- [8]- W. Xiang, K. Zheng, and X. S. Shen, *5G Mobile Communications*. Springer, 2017.
- [9]- L. Musavian, M. R. Nakhi, M. Dohler, and A. H. Aghvami. Effect of channel uncertainty on the mutual information of MIMO fading channels. *IEEE Trans. Veh. Technol.* vol. 56, no. 5, pp. 2798–2806, Sep. 2007.
- [10]- B. Wang, J. Zhang, and A. Host-Madsen. On the capacity of MIMO relay channels. *IEEE Transactions on Information Theory*, 51(1):29–43, Jan. 2005.



شكل (7) تأثير متوسط مربع خطأ تخمين القناة على احتمال الخروج

#### 3.3 تأثير دقة معلومات حالة القناة على الأداء جودة الإرسال

شكل (4) يوضح نسبة الخطأ في البت BER ضد نسبة الإشارة إلى الضجيج بالديسيبل SNR عندما تتأثر جودة الإرسال بزيادة معدل الأخطاء MSE في تخمين القناة . من خلال مقارنة المنحنى التالي عندما MSE بالمنحنى الأخرى نلاحظ تدهور مستمر في الجودة لدرجة ان الأداء يصبح غير ملائم لكثير من متطلبات الجودة في بعض تطبيقات الاتصالات اللاسلكية . ونلاحظ من الشكل انه عند 0.01  $MSE >$  يصبح الأداء متأثر بظاهرة مستوى الخطأ الثابت ، اي انه يتأثر الأداء كثيرا بالأخطاء في تخمين القناة حيث نلاحظ تدهور سريع يصبح الأداء به غير مقبول ولا يلبى متطلبات الأداء لتطبيقات الاتصالات اللاسلكية التي تتطلب سرعات ترانس عالية.



شكل (8) تأثير متوسط مربع خطأ تخمين القناة على أداء النظام

#### 4 الاستنتاجات

من خلال النتائج المتحصل عليها عن أداء أنظمة الاتصالات ذات النطاق الترددي العريض والتي تحتوى على مرحل من الممكن استنتاج ان عدم توفر معلومات حالة القناة بدقة تؤثر كثيرا على السعة وعلى جودة الإرسال و الأداء و التي يكون تأثيرها بدرجة ملحوظة ، والتاثير هنا يكون ناتج عن ان التخمين الغير دقيق والذي قد يؤثر على خاصية استقلالية